

Электромагнитно-акустическое преобразование в монокристалле эрбия

© В.Д. Бучельников, И.В. Бычков, Ю.А. Никишин, С.Б. Пальмер*, Ч.М. Лим*, К. Эдвардс*

Челябинский государственный университет,
454021 Челябинск, Россия

* Университет Варвика,
Ковентри CV47 AL, Великобритания

E-mail: buche@csu.ru, phrah@warwick.ac.uk

(Поступила в Редакцию в окончательном виде 1 февраля 2002 г.)

Экспериментально исследованы температурные зависимости эффективности электромагнитно-акустического преобразования (ЭМАП) и скорости поперечного звука в редкоземельном металле эрбии, имеющем три типа сложных магнитных структур, при различных значениях внешнего постоянного магнитного поля. Обнаружено, что в области температур фазовых переходов между магнитными структурами наблюдаются интенсивная генерация и аномалии скорости поперечного звука. При увеличении поля эффективность генерации растет, а аномалии скорости звука убывают. Теоретически получены выражения для эффективности генерации поперечного звука за счет магнитоупругого механизма в двух типах магнитных структур эрбия. Показано, что увеличение эффективности ЭМАП в области фазовых переходов обусловлено особенностями статической и динамической магнитных восприимчивостей эрбия.

Работа выполнена при частичной поддержке гранта Минобразования РФ № E00-3.4-536.

Магнитное упорядочение некоторых магнетиков имеет сложный характер. К таким магнетикам относятся, например, редкоземельные металлы. Как правило, во всех редкоземельных металлах при понижении температуры наблюдается целый ряд магнитных фазовых переходов из одной магнитной структуры в другую. В частности, в редкоземельном металле эрбий (Er) в отсутствие магнитного поля наблюдается следующая последовательность спонтанных фазовых переходов [1–4]. При температурах $T > T_{N1} = 87$ К эрбий является парамагнетиком (PM). В интервале температур $T_{N1} > T > T_{N2} = 54$ К в эрбии реализуется магнитная структура, которая называется продольной спиновой волной (LSW). В ней осциллирует продольная проекция намагниченности на ось анизотропии. При этом поперечные составляющие намагниченности равны нулю. В диапазоне температур $T_{N2} > T > T_C = 18$ К осуществляется структура, в которой осциллируют как поперечные, так и продольные проекции намагниченности на гексагональную ось c . Такая магнитная структура получила название сложной спирали (или циклоидальной структуры) (CS). При понижении температуры в данной фазе волновой вектор циклоиды уменьшается, проходя через ряд соизмеримых и несоизмеримых значений [15]. В случае $T < T_C$ в Er имеет место структура типа ферромагнитной спирали (FS).

Сложная магнитная структура эрбий сохраняется и во внешнем магнитном поле \mathbf{H} вдоль гексагональной оси — вплоть до $H = 26–28$ кОе [3,4]. С увеличением магнитного поля расширяется область существования фазы FS, а области существования фаз LSW и CS уменьшаются. При возрастании магнитного поля в фазе CS происходит стабилизация соизмеримых структур, которые обладают результирующей намагниченностью вдоль гексагональной оси [3]. В полях $H > 16$ кОе в фазе CS

остается лишь одна соизмеримая структура с волновым числом $2/7$ (в единицах постоянной обратной решетки вдоль оси c) [3]. Наоборот, в области существования фазы FS количество соизмеримых и несоизмеримых состояний увеличивается [3,4].

Наличие в Er и других редкоземельных металлах целого ряда магнитных фазовых переходов и различного рода длиннопериодических магнитных структур приводит к тому, что поведение различных физических характеристик данных металлов может существенно отличаться от поведения аналогичных характеристик в магнетиках, обладающих более простой магнитной структурой. В частности, представляет интерес экспериментальное и теоретическое исследование процессов электромагнитно-акустического преобразования (ЭМАП) в редкоземельных металлах, так как все изменения, происходящие в магнитной структуре этих веществ, должны сказываться на неэффективности возбуждения звука [6].

Исследованию процессов ЭМАП в редкоземельных металлах, обладающих модулированной магнитной структурой, уже посвящен ряд экспериментальных и теоретических работ (см., например, обзор [6]). Экспериментально изучалось электромагнитное возбуждение звука в тербии и диспрозии, как в ферромагнитной, так и в модулированных фазах [7,8]. Теоретически процессы ЭМАП в ферромагнитных фазах модулированных магнетиков изучались в работах [6,8]. Теоретическому исследованию эффективности ЭМАП в модулированных фазах редкоземельных металлов посвящена всего лишь одна работа [9]. В ней исследовалось ЭМАП в модулированной фазе типа простая спираль.

В настоящей работе экспериментально исследовано ЭМАП в монокристалле Er. Теоретически рассчитаны эффективности ЭМАП за счет магнитоупругого меха-

низма в модулированных фазах LSW и FS. Проведено сравнение теоретических и экспериментальных результатов.

1. Эксперимент

Исследование эффективности ЭМАП и скорости генерируемого звука проводилось с помощью автоматизированной ультразвуковой измерительной системы Matec DSP-8000 [10,11], которая адаптирована для проведения измерений по стандартной эхо-импульсной методике бесконтактной генерации звука, описанной, например, в обзоре [6]. Монокристаллический образец в форме цилиндра длиной 2.8 и диаметром 4.5 mm помещался в плоскую сапиральную катушку. Гексагональная ось c совпадала с осью цилиндра. Образец вместе с катушкой помещался в постоянное магнитное поле, вектор напряженности H которого был перпендикулярен плоскости катушки и параллелен гексагональной оси c образца. В такой геометрии генерируется поперечный звук с волновым вектором k , параллельным оси c [6]. На катушку подавались импульсы электромагнитного поля амплитудой 200 V длительностью 0.6–0.8 μs и частотой заполнения 10 МГц. Этими импульсами в образце возбуждалась последовательность затухающих

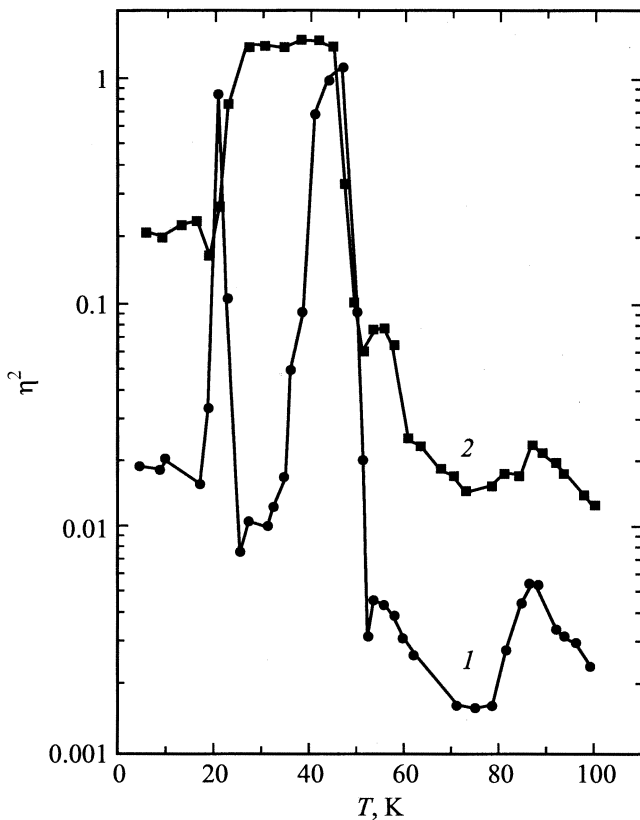


Рис. 1. Экспериментальная зависимость амплитуды сигнала ЭМАП в монокристалле эрбия от температуры в магнитном поле $H \parallel c$ (в кОе): 1 — 10, 2 — 20. Амплитуда сигнала выражена в условных единицах.

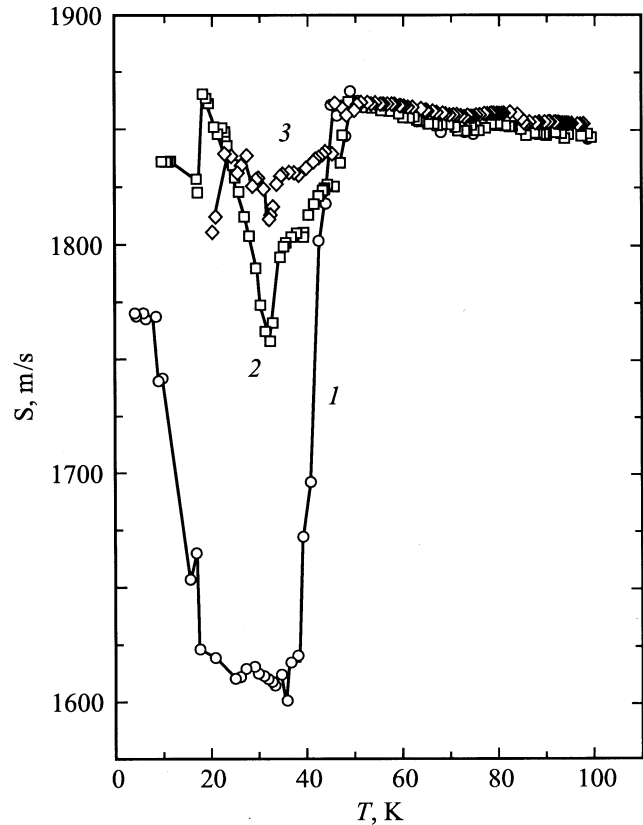


Рис. 2. Экспериментальная зависимость скорости поперечного звука в монокристалле эрбия от температуры в магнитном поле $H \parallel c$ (в кОе): 1 — 10, 2 — 15, 3 — 20.

акустических сигналов. Скважность электромагнитных импульсов составляла 1 кГц, что позволяло всей последовательности генерируемых акустических сигналов располагаться в ней. Импульсы ультразвука на частоте падающей электромагнитной волны генерировались на обеих основаниях цилиндра, распространялись вдоль его оси и после достижения противоположного основания цилиндра регистрировались той же катушкой. Эхо-сигналы, следующие с интервалом $t = h/S$, где h — длина цилиндра, S — скорость ультразвука, поступали с катушки на прецизионную установку Matec DSP-8000. Время прохождения сигнала через образец обычно определялось по третьему и четвертому эхо-сигналам, амплитуда генерируемого сигнала измерялась по третьему эхо-сигналу [10]. Погрешность определения скорости звука на установке Matec DSP-8000 не превышала 0.1%. Анализ формы эхо-сигналов показал, что затухание ультразвука в образце является малым и не оказывает существенного влияния на величину эффективности ЭМАП [10]. В этом случае в описанной постановке эксперимента регистрируемая амплитуда сигнала пропорциональна квадрату эффективности ЭМАП [6,10].

Температурные зависимости амплитуды сигнала ЭМАП при двух значениях постоянного магнитного поля представлены на рис. 1. Видно, что при $H = 10$ кОе на эффективности ЭМАП в области температур фа-

зовых переходов Pm–LSW, LSW–CS и CS–FS наблюдаются четко выраженные пики генерации звука. При $H = 20 \text{ kOe}$ в области данных температур также имеет место увеличение эффективности генерации, причем в фазе CS наблюдается плато эффективности генерации, превосходящее по величине эффективности генерации в других фазах. Величина эффективности генерации во всех фазах растет с увеличением магнитного поля. На рис. 2 представлены температурные зависимости скорости генерируемого поперечного звука для трех значений магнитного поля. Из него также следует, что в области указанных температур наблюдаются аномалии скорости звука, которые сглаживаются при увеличении магнитного поля. Наибольшее уменьшение скорости поперечного звука достигается в области существования фазы CS в магнитном поле $H = 10 \text{ kOe}$. При этом величина изменения скорости звука составляет 15–20%. Отметим, что такого значительного изменения скорости ультразвука в области магнитных фазовых переходов на других редкоземельных металлах до сих пор не наблюдалось.

2. Теория

2.1. Свободная энергия и основное состояние. Редкоземельные металлы имеют гексагональную кристаллическую структуру. Феноменологическое выражение для свободной энергии такого магнетика имеет вид [1,9,12]

$$W = \frac{1}{V} \int F dV,$$

где

$$\begin{aligned} F = & \frac{1}{2} a \mathbf{M}^2 + \frac{1}{4} b \mathbf{M}^4 - \frac{1}{2} \beta_1 M_z^2 - \frac{1}{4} \beta_2 M_z^4 \\ & + \frac{1}{2} \beta_6 (M_+^6 + M_-^6) + \frac{1}{2} \alpha_{\perp} \left[\left(\frac{\partial \mathbf{M}}{\partial x} \right)^2 + \left(\frac{\partial \mathbf{M}}{\partial y} \right)^2 \right] \\ & + \frac{1}{2} \alpha_{\parallel} \left(\frac{\partial \mathbf{M}}{\partial z} \right)^2 + \frac{1}{2} \gamma \left(\frac{\partial^2 \mathbf{M}}{\partial x_i^2} \right)^2 - \mathbf{M}(\mathbf{H} + \mathbf{h}) \\ & + \gamma_{ik} \mathbf{M}^2 U_{ik} + \gamma_{iklm} M_i M_k U_{lm} + c_{iklm} U_{ik} U_{lm}, \end{aligned} \quad (1)$$

\mathbf{M} — намагниченность; $M_{\pm} = M_x \pm i M_y$ — ее циркулярные компоненты; a, b — постоянные однородного обмена; α, γ — константы неоднородного обмена; β — константы анизотропии; \mathbf{H} и \mathbf{h} — напряженности постоянного и переменного магнитных полей; $\gamma_{ik}, \gamma_{iklm}$ — тензоры постоянных соответственно обменной и релятивистской магнитострикции; U_{ij} — тензор деформаций, c_{iklm} — тензор модулей упругости.

Определим основное состояние кристалла в пренебрежении анизотропией в плоскости базиса ($\beta_6 = 0$) и при условии, что внешнее магнитное поле направлено вдоль гексагональной оси, $\mathbf{H} \parallel \mathbf{c} \parallel \mathbf{z}$. Для его нахождения требуется решить систему уравнений, состоящую из уравнений Эйлера для магнитной подсистемы и

уравнений равновесия упругой подсистемы с условиями совместной деформаций Сен–Венана [12].

Рассмотрим отдельно основные состояния для фаз LSW и FS.

В случае структуры LSW равновесные компоненты вектора намагниченности запишем в виде [1]

$$M_{\pm} = 0, \quad M_z = \sum_{n=-\infty}^{n=+\infty} M_n^z e^{iqnz}, \quad (2)$$

где $2\pi/q$ — период структуры вдоль оси \mathbf{z} .

Равновесный тензор деформаций, получающийся при решении уравнений равновесия упругой среды и условий совместности Сен–Венана при учете (2) и в приближении $qd \gg 1$ (т.е. в случае, когда период структуры намного меньше толщины магнетика d), приведен в Приложении (П1).

Для нахождения равновесных значений M_n^z и q необходимо подставить (2) и (П1) в (1), а затем проминимизировать по M_n^z и q выражение для свободной энергии. Из анализа получающейся в результате минимизации свободной энергии системы уравнений следует, что $M_n^z = M_{-n}^z$, поэтому далее рассмотрим только компоненты M_n^z с $n = 0, 1, 2, 3, \dots$. Ограничимся также рассмотрением области слабых магнитных полей. В этом случае достаточно оставить в (2) члены с $n = 0, 1, 2, 3$ ($M_1 \gg M_0, M_2, M_3$) [1]. В первом приближении по малому параметру $b_i/L(q)$ для M_0, M_1, M_2, M_3 получаем следующие выражения:

$$M_0^z = H/L(0), \quad M_1^z = -L(q)/3\tilde{b},$$

$$M_2^z = -\frac{3\tilde{b}_1 M_0^z}{L(2q)} (M_1^z)^2, \quad M_3^z = -\frac{\tilde{b}_1}{L(3q)} (M_1^z)^3, \quad q = q_0. \quad (3)$$

Здесь $L(q) = a - \beta_1 + \alpha_{\parallel} q^2 + \gamma q^4$ — собственное значение дифференциального оператора

$$\hat{L} = a - \beta_1 - \alpha_{\parallel} \frac{\partial^2}{\partial z^2} + \gamma \frac{\partial^4}{\partial z^4}, \quad q_0^2 = -\frac{\alpha_{\parallel}}{2\gamma},$$

$$\tilde{b} = b - \frac{2\tilde{\gamma}_3^2}{c_{33}} + \frac{8(c_{33}\tilde{\gamma}_1 - c_{13}\tilde{\gamma}_3)^2}{3c_{33}\Delta}, \quad \tilde{b}_1 = b - \frac{2\tilde{\gamma}_3^2}{c_{33}}.$$

При определении основного состояния магнетика в фазе FS предположим, что минимум энергии W осуществляется, когда намагниченность имеет следующий вид:

$$M_0^+ = M_0 e^{iqz} \sin \theta, \quad M_0^- = M_0 e^{-iqz} \sin \theta,$$

$$M_0^z = M_0 \cos \theta, \quad (4)$$

где θ — угол между вектором намагниченности \mathbf{M} и осью симметрии \mathbf{z} . Решение уравнений упругости и условий совместности Сен–Венана для фазы FS при учете (4) позволяет получить равновесный тензор деформаций U_{ik}^0 . Выражение для него приведено в Приложении (П2). Подставляя (4) и (П2) в выражение для свободной энергии (1), произведя ее усреднение в приближении $qd \gg 1$ и затем минимизируя по θ

и q , окончательно получим следующие уравнения, определяющие равновесные значения намагниченности и волнового числа спирали в фазе FS:

$$q = q_0 = (-\alpha_{\perp}/2\gamma)^{1/2},$$

$$M_0 \cos \theta [\tilde{\beta}_1 + h_{me} + (\tilde{\beta}_2 - h_{me}/M_0^2) M_0^2 \cos^2 \theta + \alpha q^2 + \tilde{\Delta}] + H = 0, \quad (5)$$

где $\tilde{\Delta} = \gamma q^4$, $h_{me} = (\gamma_{11} - \gamma_{12})^2 M_0^2 / (c_{11} - c_{12})$, $\tilde{\beta}_1$ и $\tilde{\beta}_2$ — перенормированные магнестрикцией константы анизотропии [9,13].

2.2. Генерация ультразвука в фазе LSW. Рассмотрим магнетик, занимающий полупространство $z > 0$ (такое приближение справедливо в случае, когда длина звуковой волны много меньше толщины образца; это приближение выполняется в описанном выше эксперименте). Пусть по нормали к поверхности магнетика падает плоская электромагнитная волна. Направим вектор напряженности внешнего магнитного поля \mathbf{H} вдоль гексагональной оси \mathbf{c} образца ($\mathbf{H} \parallel \mathbf{k} \parallel \mathbf{c} \parallel \mathbf{z}$).

Для нахождения амплитуды возбуждаемой в магнетике звуковой волны требуется решить связанную систему уравнений Ландау–Лифшица, теории упругости и Максвелла совместно со стандартными граничными условиями на векторы электрического и магнитного полей, тензор напряжений и намагниченность [6]

$$\dot{\mathbf{M}} = g[\mathbf{M}, \mathbf{H}^{eff}], \quad \rho \ddot{u}_i = \frac{\partial \sigma_{ik}}{\partial x_k},$$

$$\text{rot} \mathbf{H} = \frac{4\pi}{c} \sigma \mathbf{E}, \quad \text{rot} \mathbf{E} = -\frac{1}{c} \frac{\partial \mathbf{B}}{\partial t}, \quad \text{div} \mathbf{B} = 0, \quad \text{div} \mathbf{E} = 0, \quad (6)$$

где $\mathbf{B} = \mathbf{H} + 4\pi \mathbf{M}$ — индукция магнитного поля, \mathbf{E} — напряженность электрического поля, $\mathbf{H}^{eff} = -\frac{\partial F}{\partial \mathbf{M}} + \frac{\partial}{\partial x} \frac{\partial F}{\partial (\partial \mathbf{M} / \partial x_i)}$ — эффективное магнитное поле, ρ — плотность металла, \mathbf{u} — вектор смещения, g — гиромангнитное отношение, c — скорость света в вакууме, σ — электропроводность. В уравнениях (6) оставлены слагаемые, ответственные лишь за магнитоупругий механизм генерации звука. Данный механизм ЭМАП является преобладающим в магнитных полях вплоть до 100 кОе [6].

Рассмотрим малые колебания намагниченности, упругих смещений и электромагнитного поля вблизи положения равновесия (2), (3). Для этого представим все переменные в виде

$$F = F_0(z) + f, \quad f = e^{ikz} \sum_{n=-\infty}^{n=+\infty} f_n e^{iqnz}, \quad (7)$$

где F_0 — равновесные значения, f — малые отклонения от равновесных значений. Подставив (7) в систему связанных уравнений (6) и исключив из нее напряженность электрического поля \mathbf{E} , получим линеаризованную вблизи положения равновесия бесконечную систему уравнений для Фурье-компонент f_n связанных

волн в фазе LSW. В приближении, когда амплитуды нулевых гармоник f_0 в полученной бесконечной системе уравнений являются наибольшими [9], линеаризованная система уравнений (6) запишется в виде

$$(\omega^2 - \omega_t^2) u_0^{\pm} + \frac{ik\gamma_{44} M_0^2}{\rho} m_0^{\pm} = 0,$$

$$(k^2 - k_e^2) h_0^{\pm} - 4\pi i \delta^2 m_0^{\pm} = 0,$$

$$(\omega \mp \omega_1) m_0^{\pm} - 2igk\gamma_{44} (M_1^z)^2 u_0^{\pm} + M_0^z g h_0^{\pm} = 0, \quad (8)$$

где m^{\pm} , h^{\pm} , u^{\pm} — циркулярные компоненты; ω — частота падающей на металл электромагнитной волны; $\omega_t = S_t k$ — частота, а $S_t = \sqrt{c_{44}/\rho}$ — скорость поперечного звука, $k_e^2 = 2i/\delta^2 = 4\pi i \sigma \omega / c^2$, δ — толщина скин-слоя в металле, $\omega_1 = gM_0(L(k) + \beta_1 + 6(\tilde{b} + b_{me})M_1^z)$,

$$b_{me} = \frac{2\tilde{\gamma}_3}{c_{33}} (\gamma_{33} - \gamma_3) + \frac{2(c_{33}\tilde{\gamma}_1 - c_{13}\tilde{\gamma}_3)}{3c_{33}\Delta} \times \left[c_{33} \left(3\gamma_{11} + \gamma_{12} - 4\gamma_{13} + \gamma_1 - 3\frac{c_{13}}{c_{33}} \gamma_3 \right) + 4c_{13}\tilde{\gamma}_3 \right].$$

Отметим, что в рассматриваемой геометрии возможно возбуждение только поперечного звука [6].

Из (8) следует, что дисперсионное уравнение связанных электромагнитных, спиновых и упругих волн в предположении, что частота возбуждаемых колебаний много меньше частоты однородной прецессии намагниченности ($\omega \ll \omega_1$), и в пренебрежении пространственной дисперсией спиновых волн имеет вид

$$(1 - \xi_t) k^4 = [(\mu - \xi_t) k_e^2 + k_t^2] k^2 + \mu k_e^2 k_t^2 = 0, \quad (9)$$

где $k_t^2 = \omega^2/S_t^2$, $\chi = gM_0/\omega_1$ — динамическая магнитная восприимчивость, $\mu = 1 + 4\pi\chi$, $\xi_t = \chi\gamma_{44}^2 M_1^z / \rho S_t^2$ — динамический параметр магнитоупругого взаимодействия.

Решение дисперсионного уравнения (9) выглядит следующим образом:

$$k_1^2 = \frac{\mu}{\mu - \xi_t} k_t^2, \quad k_2^2 = \frac{\mu - \xi_t}{1 - \xi_t} k_e^2, \quad k_e \gg k_t,$$

$$k_1^2 = \frac{1}{1 - \xi_t} k_t^2, \quad k_2^2 = \mu k_e^2, \quad k_e \ll k_t. \quad (10)$$

Волновые числа k_1 соответствуют квазиупругим, а k_2 — квазиэлектромагнитным волнам.

Линеаризованная система граничных условий в предположении, что амплитуды нулевых гармоник (f_0) являются наибольшими, запишется как

$$i\gamma_{44} M_0 (m_1^{\pm} + m_2^{\pm}) - c_{44} (k_1 u_1^{\pm} + k_2 u_2^{\pm}) = 0,$$

$$\left(1 - \frac{ick_1}{4\pi\sigma} \right) h_1^{\pm} + \left(1 - \frac{ick_2}{4\pi\sigma} \right) h_2^{\pm} = 2h_0^{\pm}. \quad (11)$$

Здесь h_0^{\pm} — циркулярные амплитуды падающей электромагнитной волны. Индексы 1 и 2 относятся к волнам, распространяющимся в металле, и соответствуют решениям дисперсионного уравнения (10). Отметим, что

граничное условие на намагниченность в (11) отсутствует, так как при рассмотрении динамики магнетика используется приближение, в котором пренебрегается неоднородным обменом в плотности энергии (1) [6,9].

Из совместного решения систем уравнений (8) и (11) в приближении $k_e \gg k_i$, которое обычно выполняется в эксперименте, можно получить выражение для амплитуды возбуждаемого звука

$$u_0^\pm = \left(\frac{c}{S_t}\right)^2 \frac{\gamma_{44} M_0 \chi \mu^{1/2}}{2\pi \sigma \rho S_t (\mu - \xi_t)^{3/2}} h_0^\pm. \quad (12)$$

Коэффициент преобразования электромагнитных волн в звуковые (эффективность ЭМАП) η определяется как отношение потоков акустической и электромагнитной энергий на границе магнетика [6]. В рассматриваемом случае он имеет вид

$$\eta = \left(\frac{c}{S_t}\right)^3 \frac{\gamma_{44}^2 M_0^2 \omega^2 \chi^2 \mu}{2\pi \rho \sigma^2 S_t^2 (\mu - \xi_t)^3}. \quad (13)$$

2.3. Генерация звука в фазе FS. Исследуем малые колебания векторов смещения, намагниченности, напряженностей электрического и магнитного полей около основного состояния (4), (5). Линеаризованная система уравнений (6) для компонент Фурье указанных векторов в случае распространения волн вдоль оси \mathbf{z} (ось спирали) и при условии, что амплитуды основных гармоник являются наибольшими, имеет вид [13]

$$\begin{aligned} m^\pm(k) \left[\cos \theta \left(\omega_2(k) + \frac{1}{2} \omega_{me4} \sin^2 \theta \right) \mp \omega \right] \\ + i g \gamma_{44} M_0^2 k \left(\cos^2 \theta - \frac{1}{2} \sin^2 \theta \right) u^\pm(k) \\ - g M_0 \cos \theta h^\pm(k) = 0, \\ (\omega^2 - S_t^2 k^2) u^\pm(k) - \frac{i k}{\rho} \gamma_{44} M_0 \cos \theta m^\pm(k) = 0, \\ (\omega^2 - v^2 k^2) h^\pm(k) + 4\pi \omega^2 m^\pm(k) = 0. \end{aligned} \quad (14)$$

Здесь введены следующие обозначения: $\mathbf{h}^\pm(\mathbf{k})$, $\mathbf{m}^\pm(\mathbf{k})$, $\mathbf{u}^\pm(\mathbf{k})$ — циркулярные компоненты Фурье векторов \mathbf{h} , \mathbf{m} , \mathbf{u} ; $v = c\sqrt{\omega/4\pi i\sigma}$; $\omega_2(k) = \omega_{20} + gM_0 L_\perp(k)$, где $\omega_{20} = \omega_{me4} \cos^2 \theta$, $\omega_{me4} = g\gamma_{44}^2 M_0^3 / c_{44}$, $L_\perp(k)$ — собственное значение дифференциального оператора $\hat{L}_\perp = -\alpha_\perp q^2 - \gamma q^4 - \alpha_\perp \frac{\partial^2}{\partial z^2} + \gamma \frac{\partial^4}{\partial z^4}$; $\omega_1(k) = \omega_{10} - \omega_{20} + gM_0 \sin^2 \theta L_\perp(k)$, $\omega_{10} = gM[h_{me4} - \sin^2 \theta (\beta_1 + (\beta_2 + 2\beta_2) \times M_0^2 \cos^2 \theta + h_{me} \sin^2 \theta)]$, $h_{me4} = \omega_{me4} / gM_0$.

Дисперсионное уравнение системы (14) определяется выражением (11), а его решение в приближении $\omega_2 \gg \omega$ (данное приближение обычно справедливо для диапазона частот, используемого при экспериментальном исследовании ЭМАП в металлах) — выражениями (10), в которых $\xi_t = \gamma_{44}^2 M_0^2 \chi \cos \theta (\sin^2 \theta / 2 - \cos^2 \theta) / \rho S_t^2$, $\mu = 1 + 4\pi \chi \cos \theta$, $\chi = gM_0 / [(\omega_2(k) + \omega_{me4} \sin^2 \theta / 2) \cos \theta]$.

Линеаризованная система граничных условий в пренебрежении пространственной дисперсией спиновых волн определяется формулами (11), в которых M_0 следует заменить на $M_0 \cos \theta$.

Совместное решение систем уравнений (14) и (11) в приближении $ck_i / 4\pi\sigma \ll 1$ позволяет найти амплитуду генерируемой упругой поперечной волны для случая, когда толщина скин-слоя металла намного меньше длины падающей электромагнитной волны,

$$u_2^\pm = \left(\frac{c}{S_t}\right)^2 \frac{\gamma_{44} M_0 \chi \mu^{1/2} \cos^2 \theta}{2\pi \sigma \rho S_t (\mu - \xi_t)^{3/2}} h_0^\pm. \quad (15)$$

Отсюда получаем следующее выражение для эффективности ЭМАП в состоянии FS

$$\eta = \left(\frac{c}{S_t}\right)^3 \frac{\gamma_{44}^2 \omega^2 M_0^2 \chi^2 \mu \cos^4 \theta}{2\pi \sigma^2 \rho S_t^2 (\mu - \xi_t)^3}. \quad (16)$$

3. Обсуждение результатов

Приведем еще раз выражение для эффективности ЭМАП в случае генерации звука в состоянии типа LSW. Учитывая, что практически всегда $\mu \gg \xi_t$ [6] и используя выражение для M_0^z из (3), перепишем формулу для эффективности ЭМАП (13) в состоянии LSW в виде

$$\eta = \left(\frac{c}{S_t}\right)^3 \frac{\gamma_{44}^2 H^2 \omega^2 \chi_s^2 \chi_d^2}{2\pi \rho \sigma^2 S_t^2 (1 + 4\pi \chi_d)^2}, \quad (17)$$

где χ_s — статическая, а χ_d — динамическая восприимчивости ферромагнитного металла. Статическая восприимчивость определяется из (3) как коэффициент пропорциональности между M_0^z и H

$$\chi_s = (a - \beta_1 - 2\gamma q_0^4)^{-1}, \quad (18)$$

а динамическая восприимчивость связывает переменные намагниченность и магнитное поле и выражается согласно (3), (8) и (9) формулой

$$\chi_d = (-a + 2\beta_1 + 2\gamma q_0^4 + 6\tilde{b}_{me} M_1^2)^{-1}. \quad (19)$$

Используя выражения (18) и (19), можно объяснить экспериментальную зависимость эффективности ЭМАП, наблюдаемую в эрбии (рис. 1) в фазе LSW, с помощью теоретической формулы (17) следующим образом. В области точки Нееля $T_{N1} = 87$ К пик эффективности ЭМАП согласно (17) может быть обусловлен максимумом статической восприимчивости χ_s (18), который обычно имеет место в магнитоупорядоченных кристаллах при переходе из парамагнитного в упорядоченное состояние [14]. Небольшую величину пика эффективности генерации вблизи T_{N1} можно объяснить тем, что в этой области постоянная анизотропной магнитоупорядоченности γ_{44} мала [6].

При переходе из состояния LSW в состояние CS при $T = T_{N2} = 54$ К имеет место резкое возрастание динамической восприимчивости (19). Это обусловлено тем, что

в точке фазового перехода $LSW \rightarrow CS$ происходит смягчение частоты квазиспиновой моды $\omega_1 = gM_0\chi_d^{-1}$. Согласно (19) (см. также [1]), в точке перехода $LSW \rightarrow CS$ частота ω_1 принимает минимальное значение, определяемое магнитоупругой связью ($\omega_1 = 6gM_0b_{me}M_1^2$), а динамическая восприимчивость имеет при этом максимум. Из (17) следует, что этим как раз и может быть объяснен второй пик на экспериментальной зависимости ЭМАП в эрбии при $T = T_{N2}$. Поскольку, согласно (17), эффективность ЭМАП зависит от величины внешнего магнитного поля, это приводит к ее возрастанию при увеличении поля. Это также наблюдается на экспериментальной зависимости (рис. 1).

Необходимо отметить, что температуры переходов $PM-LSW$ (T_{N1}) и $LSW-CS$ (T_{N2}) слабо зависят от величины магнитного поля (см. $H-T$ -фазовые диаграммы в работах [3,4]), поэтому пики эффективности ЭМАП при $H = 0$ и 20 кОе на рис. 1 наблюдаются практически при одних и тех же температурах.

Следующий интенсивный пик эффективности ЭМАП в поле $H = 10$ кОе в фазе CS при температуре $T \approx 47$ К согласно $H-T$ -фазовым диаграммам [3,4] можно объяснить особенностями статической и динамической восприимчивостей в области перехода из соизмеримой фазы с волновым числом $2/7$ в соизмеримую фазу с волновым числом $3/11$ [3] или перехода из соизмеримой фазы с волновым числом $2/7$ в несоизмеримую фазу [4].

В состоянии типа FS при $T < T_C$ намагниченность M_0 , входящую в формулу (16) для эффективности ЭМАП, можно практически считать постоянной (равной намагниченности насыщения при $T \rightarrow 0$) и не зависящей от напряженности внешнего магнитного поля. В этом случае в состоянии FS особенности, проявляющиеся на эффективности ЭМАП, по видимому, будут связаны с особенностями в поведении динамической восприимчивости и равновесного угла θ между результирующим вектором намагниченности вдоль гексагональной оси и вектором напряженности внешнего магнитного поля.

Формулу (16) для эффективности ЭМАП при $\mu \gg \xi_t$ можно записать в виде

$$\eta = \left(\frac{c}{S_t}\right)^3 \frac{\gamma_{44}^2 \omega^2 M_0^2 \chi_d^2 \cos^2 \theta}{2\pi\rho\sigma^2 S_t^2 (1 + 4\pi\chi_d)^2}. \quad (20)$$

Здесь динамическая магнитная восприимчивость χ_d в приближении $\omega_2(k) \gg \omega$ (что, как указывалось выше, хорошо выполняется в области ультразвуковых частот) согласно (5) и (14) может быть записана как

$$\chi_d = \left[h_{me4} \left(1 - \frac{1}{2} \sin^2 \theta \right) + 2\gamma q_0^4 \right]^{-1}. \quad (21)$$

При переходе из состояния FS в состояние CS в точке $T = T_C$ волновое число q_0 уменьшается [1]. Это приводит к тому, что в точке перехода χ_d резко возрастает, что и проявляется в росте эффективности ЭМАП на экспериментальной зависимости (рис. 1). Согласно $H-T$ -фазовым диаграммам [3,4], переходу из состояния FS в

состояние CS в поле $H = 10$ кОе отвечает небольшой пик эффективности ЭМАП при температуре $T \approx 27$ К, а в поле $H = 20$ кОе — пик эффективности ЭМАП при температуре $T \approx 45$ К.

Из рис. 1 следует, что в магнитном поле $H = 10$ кОе в области существования фазы FS наблюдается еще один интенсивный пик, а в поле $H = 20$ кОе — еще как минимум два пика эффективности ЭМАП. В поле $H = 10$ кОе это пик при температуре $T = 20$ К. Анализ фазовых диаграмм работ [3,4] (несмотря на некоторое расхождение между ними) позволяет сделать вывод, что данный пик обусловлен особенностями характеристик эрбия в области фазового перехода между соизмеримым состоянием с волновым числом $5/21$ и несоизмеримым состоянием внутри FS фазы. В поле $H = 20$ кОе первый пик при температуре $T \approx 38$ К выражен очень слабо и может быть объяснен особенностью восприимчивости при переходе внутри фазы FS из несоизмеримого состояния в соизмеримое состояние с волновым числом $1/4$ [3,4]. Аналогично второй пик при температуре $T \approx 27$ К может быть сопоставлен с особенностью восприимчивости при переходе внутри фазы FS из соизмеримого состояния с волновым числом $1/4$ в соизмеримое состояние с волновым числом $5/21$ [3,4].

Отметим, что при увеличении внешнего магнитного поля равновесный угол θ между намагниченностью и полем уменьшается. Это обуславливает то, что при увеличении напряженности магнитного поля эффективность ЭМАП из-за наличия в формуле (20) множителя $\cos^2 \theta$ может возрастать во всем интервале $T \leq T_C$. Данное явление также имеет место на экспериментальной зависимости (рис. 1).

Таким образом, из сравнения экспериментальных результатов по исследованию эффективности ЭМАП в редкоземельном металле Er (рис. 1) и теоретических результатов, описывающих эффективность ЭМАП в фазах LSW и FS (формулы (17) и (20)), можно сделать следующие выводы.

Формулы (17) и (20) позволяют качественно объяснить пики эффективности ЭМАП, наблюдаемые экспериментально (рис. 1) в области фазовых переходов $PM-LSW$, $LSW-CS$ и $FS-CS$. Эти пики обусловлены особенностями статической и динамической восприимчивостей эрбия вблизи указанных переходов. К сожалению, провести количественное сравнение между теорией и экспериментом не представляется возможным из-за большого числа неизвестных параметров, входящих в формулы (17) и (20). Для количественного сравнения теории и эксперимента требуется проведение комплексных экспериментов по измерению этих параметров при различных температурах и магнитных полях. Такие эксперименты для кристаллов эрбия не проведены до последнего времени. Количественное сравнение затруднено также и из-за того, что в экспериментах обычно используются конечные образцы, а теория строится для полубесконечных монокристаллов. Однако, как показано в [6], теория для полубесконечных кристаллов качественно позволяет объяснить все основные закономерности процессов ЭМАП в ферромагнитных металлах.

Как видно из сравнения формул (17), (20) и рис. 1, это относится и к процессам ЭМАП в монокристаллах эрбия.

Остальные пики эффективности ЭМАП, наблюдаемые экспериментально, по-видимому, обусловлены особенностями характеристик эрбия в области фазовых переходов между двумя соизмеримыми или соизмеримым и несоизмеримым состояниями внутри фаз CS и FS. Развита в данной работе феноменологическая теория ЭМАП, в которой используется приближение сплошной среды, не позволяет описать эффекты соизмеримости, и соответственно фазовые переходы внутри фаз CS и FS между различными соизмеримыми и несоизмеримыми состояниями [1]. Для их описания, а также описания ЭМАП при наличии эффектов соизмеримости необходимо создание микроскопической теории электромагнитной генерации ультразвука в редкоземельных металлах, что является самостоятельной задачей. Такая задача до сих пор не решена в силу ее сложности. Тем не менее сравнение температурной зависимости эффективности ЭМАП (рис. 1) при различных значениях напряженности магнитного поля с $H-T$ -фазовой диаграммой эрбия [3,4] позволяет сделать вывод, что действительно остальные пики эффективности ЭМАП могут быть обусловлены проявлением эффектов соизмеримости внутри фаз Cs и FS.

Приложение

Равновесный тензор деформаций в фазе LSW имеет вид

$$U_{ik}^0 = 0 \quad (i \neq k),$$

$$U_{zz}^0 = -\frac{\gamma_{33} - \gamma_{31}}{c_{33}} M_z^2 - \frac{2c_{13}}{c_{33}} U_{xx}^0 - \frac{\gamma_1}{2c_{33}} M_z^2,$$

$$U_{xx}^0 = U_{yy}^0 = -\frac{c_{33}}{\Delta} \left(\tilde{\gamma}_1 - \frac{c_{13}}{c_{33}} \tilde{\gamma}_3 \right) \sum_n M_n^z M_{-n}^z, \quad (\text{П1})$$

где $\tilde{\gamma}_1 = \gamma_{13} - \gamma_{12} + \gamma_1/2$, $\tilde{\gamma}_3 = \gamma_{33} - \gamma_{31} + \gamma_3/2$, $\Delta = c_{33}(c_{11} + c_{12}) - 2c_{13}^2$.

Равновесный тензор деформаций в фазе FS в приближении $qd \gg 1$ выражается следующими формулами:

$$U_{xx}^0 = U_{yy}^0 = -\frac{c_{33}}{2\Delta} (\gamma_{11} - \gamma_{12}) M_0^2 \sin^2 \theta$$

$$- \frac{1}{\Delta} [c_{33}(\gamma_{13} - \gamma_{12}) - c_{13}(\gamma_{33} - \gamma_{31})] M_0^2 \cos^2 \theta,$$

$$U_{zz}^0 = -\frac{2c_{13}}{c_{33}} U_{xx}^0 - \frac{1}{c_{33}} (\gamma_{33} - \gamma_{31}) M_0^2 \cos^2 \theta,$$

$$U_{xz}^0 = -\frac{\gamma_{44}}{4c_{44}} M_0^2 \sin 2\theta \cos qz,$$

$$U_{yz}^0 = -\frac{\gamma_{44}}{4c_{44}} M_0^2 \sin 2\theta \sin qz, \quad U_{xy}^0 = 0. \quad (\text{П2})$$

Список литературы

- [1] Ю.А. Изюмов. Дифракция нейтронов на длиннопериодических структурах. Энергоатомиздат, М. (1987).
- [2] R.A. Cowley, J. Jensen. J. Phys.: Condens. Matter **4**, 9673 (1992).
- [3] D.F. McMorrow, D.A. Jahan, R.A. Cowley, R.S. Eccleston, G.J. McIntyre. J. Phys.: Condens. Matter **4**, 8599 (1992).
- [4] H. Lin, M.F. Collins. Phys. Rev. **B45**, 12 873 (1992).
- [5] D. Gibbs, J. Bohr, J.D. Axe, D.E. Moncton, K.L. D'Amico. Phys. Rev. **B34**, 8182 (1986).
- [6] А.Н. Васильев, В.Д. Бучельников. УФН **162**, 89 (1992).
- [7] А.В. Андрианов, А.Н. Васильев, Ю.П. Гайдуков и др. ФММ **64**, 1036 (1987).
- [8] А.В. Андрианов, В.Д. Бучельников, А.Н. Васильев и др. ЖЭТФ **97**, 1674 (1990).
- [9] В.Д. Бучельников, И.В. Бычков, В.Г. Шавров. ЖЭТФ **105**, 739 (1994).
- [10] С.М. Лим, S. Dixon, C. Edwards, S.B. Palmer. J. Phys. D: Appl. Phys. **31**, 1362 (1998).
- [11] С.М. Лим, C. Edwards, S. Dixon, S.B. Palmer. J. Magn. Magn. Mater. **234**, 387 (2001).
- [12] В.Д. Бучельников, В.Г. Шавров. ФТТ **31**, 81 (1989).
- [13] V.D. Buchelnikov, I.V. Bychkov, V.G. Shavrov. J. Magn. Magn. Mater. **118**, 169 (1993).
- [14] А.С. Боровик-Романов. В кн.: Итоги науки. Антиферромагнетизм и ферриты. Изд-во АН СССР, М. (1962).